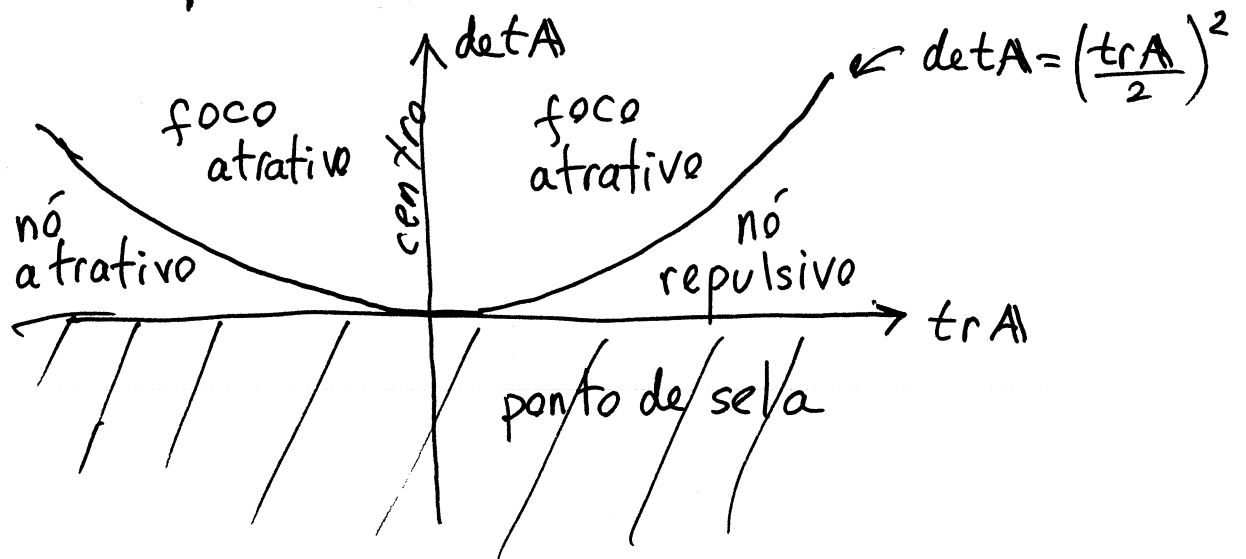


Tipos de equilíbrio nos sistemas lineares



Nos pontos da parábola $\det A = \left(\frac{\text{tr } A}{2}\right)^2$, a matriz tem um único valor próprio, real. Existe apenas uma reta com duas curvas de evolução que se aproximam, ou afastam da origem. \rightarrow NÓ IMPRÓPRIO

SISTEMAS DINÂMICOS NÃO LINEARES

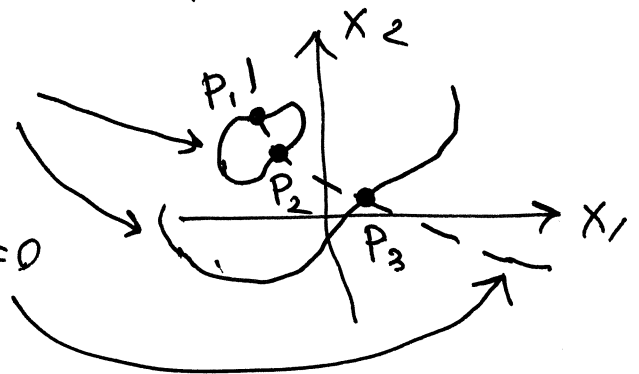
$$\begin{cases} \dot{x}_1 = f_1(x_1, x_2) \\ \dot{x}_2 = f_2(x_1, x_2) \end{cases}$$

f_1 e f_2 são funções contínuas de x_1 e x_2 e não são simples combinações lineares de x_1 e x_2

Podem existir vários pontos de equilíbrio.

Nulclinas de x_1 : $f_1(x_1, x_2) = 0$
curvas onde $\dot{x}_1 = 0$

Nulclinas de x_2 : $f_2(x_1, x_2) = 0$
curvas onde $\dot{x}_2 = 0$



Os pontos de equilíbrio são a interseção entre as curvas de nível $f_1(x_1, x_2) = 0$ e $f_2(x_1, x_2) = 0$

APROXIMAÇÃO LINEAR

Série de Taylor de f_1 , na vizinhança dum ponto (a,b) :

$$f_1(x_1, x_2) = f_1(a, b) + \frac{\partial f_1}{\partial x_1(a, b)} (x_1 - a) + \frac{\partial f_1}{\partial x_2(a, b)} (x_2 - b) + \frac{\partial^2 f_1}{\partial x_1^2(a, b)} (x_1 - a)^2 + \dots$$

e de forma análoga para f_2 . Se (a,b) for ponto de equilíbrio, $f_1(a,b) = f_2(a,b) = 0$, e mantendo unicamente os termos que dependem de $(x_1 - a)$ e $(x_2 - b)$:

$$\begin{cases} f_1(x_1, x_2) \approx \frac{\partial f_1}{\partial x_1(a, b)} (x_1 - a) + \frac{\partial f_1}{\partial x_2(a, b)} (x_2 - b) \\ f_2(x_1, x_2) \approx \frac{\partial f_2}{\partial x_1(a, b)} (x_1 - a) + \frac{\partial f_2}{\partial x_2(a, b)} (x_2 - b) \end{cases}$$

Matriz jacobiana do sistema

$$J(x_1, x_2) = \begin{bmatrix} \frac{\partial f_1}{\partial x_1} & \frac{\partial f_1}{\partial x_2} \\ \frac{\partial f_2}{\partial x_1} & \frac{\partial f_2}{\partial x_2} \end{bmatrix}$$

A aproximação das funções f_1 e f_2 conduz a um sistema linear:

$$\frac{d}{dt} \begin{bmatrix} x \\ y \end{bmatrix} = A \begin{bmatrix} x \\ y \end{bmatrix} \quad \begin{matrix} x = x_1 - a \\ y = x_2 - b \end{matrix} \quad A = J(a, b)$$

Em cada ponto de equilíbrio existe uma matriz A , correspondente à aproximação linear nessa região. Se a matriz A estiver na parábola ou no semieixo positivo das ordenadas, no gráfico $\det A$ vs. $\text{tr} A$ (nós impróprios e centros), os termos não lineares podem fazer com que o ponto de equil. seja foco ou nó.

Exemplo:
$$\begin{cases} \dot{x}_1 = 6x_2(x_2^2 + x_1^2 - 1)^2 - 3x_1^2 x_2^2 \\ \dot{x}_2 = 2x_1 x_2^3 - 6x_1(x_2^2 + x_1^2 - 1)^2 \end{cases}$$

Resolução no Maxima: `demo("~/maxima/aula20");`

```
"Definição das duas funções"$
f1: 6*x2*(x2^2+x1^2-1)^2 - 3*x1^2*x2^2;
f2: 2*x1*x2^3 - 6*x1*(x2^2+x1^2-1)^2;
```

```
"Determinação dos pontos de equilíbrio"$
p: solve([f1,f2]);
```

```
"Há 13 pontos mas apenas 9 estão no plano real."$
```

```
"Para extrair os primeiros 7 elementos e os últimos 2, da lista de 13,
usa-se o comando:"$
p: append(rest(p,-6), rest(p,11));
```

```
"4 dos pontos estão nos eixos."$
```

```
"Cálculo da matriz jacobiana"$
J: jacobian([f1,f2],[x1,x2]);
```

← ficheiro
aula20.dem

```
"Cálculo das 9 matrizes das aproximações lineares"$
A: makelist(subst(q,J), q, p);
```

```
"Traços das 9 matrizes"$
map(mat_trace, A);
```

```
"Todas têm traço nulo. De facto, o sistema é conservativo: a matriz
jacobiana têm traço nulo e, como tal, os pontos de equilíbrio
poderão ser ou centros ou pontos de sela."$
```

```
"Cálculo dos determinantes das 9 matrizes"$
map(determinant, A);
```

```
"0 primeiro, oitavo e nono pontos são centros.
0 sexto e sétimo são pontos de sela.
Nos 4 pontos nos eixos não há aproximação linear: esses pontos
não são dos tipos encontrados nos sistemas lineares."$
```

```
"Retrato de fase:"$
plotdf([f1,f2],[x1,x2],[x1,-2,2],[x2,-2,2]);
```

Os 4 pontos de equilíbrio nos eixos, $(0,1)$, $(0,-1)$, $(1,0)$ e $(-1,0)$, onde não há aproximação linear, estão ligados por 4 curvas, formando uma órbita heteroclínica.

Pode ser traçada, de forma aproximada, usando
 $nsteps = 70$ e $trajectory_at = 0.005 \dots 1.005$ (menu config.)
 $nsteps = 110$ e $trajectory_at = 0.005 \dots 1.005$

Há 5 tipos de ciclos: 3 à volta de cada um dos 3 centros, um à volta dos 3 centros, dentro da órbita heteroclínica e outro à volta dos 3 centros, fora da órbita. Podem ser visualizados usando $nsteps=300$, e $trajectory_at$ nos seguintes 5 pontos
 0.08 ; 0.05 ; 0.91 ; -0.91 ; 0.14

Existem duas órbitas homoclínicas, uma em cada ponto de sela ($nsteps=300$, $trajectory_at$: 0.5773 0.6502)
 -0.5773 0.6502)

E há uma segunda órbita heteroclínica, com 2 curvas a ligar os dois pontos de sela.
 $(nsteps=300, trajectory_at: 0.5179$ $0.625)$

